

## تحلیل پایداری سیستم انتقال قدرت سه محوره

مسعود سلطان‌رضایی<sup>۱</sup>، محمد رضا قضاوی<sup>۲\*</sup>، علی‌اصغر جعفری<sup>۳</sup>

- کارشناس ارشد مهندسی مکانیک، دانشگاه تربیت مدرس، تهران
- دانشیار مهندسی مکانیک، دانشگاه تربیت مدرس، تهران
- دانشیار مهندسی مکانیک، دانشگاه صنعتی خواجه نصیر، تهران
- \* تهران، صندوق پستی ۱۱۱-۱۱۵۱۱۱، ایمیل: ghazavim@modares.ac.ir

### چکیده

در این مقاله یک سیستم انتقال قدرت سه محوره مدل‌سازی ریاضی و شبیه‌سازی نرم‌افزاری شده است. در مدل‌سازی ریاضی یک سیستم شامل سه محور (شافت) اعطا‌پذیر ناهمراستا که با اتصال یونیورسال متصل شده‌اند به صورت سه درجه آزادی ببررسی گشته است. پایداری این مجموعه به کمک روش مندرمی ماتریس تحلیل شده است. اعتبارسنجی مدل‌سازی به وسیله مقایسه نتایج حاصل با شبیه‌سازی مجموعه در نرم‌افزار تحلیل دینامیکی ادمزابو و همچنین با نتایج پژوهش‌های گذشته صورت‌گرفته است. پس از آن به وسیله مدل ریاضی صحبت‌سنگی شده، تأثیر پارامترهای مختلف سیستم از جمله سرعت دورانی، زاویه محورها با یکدیگر (زاویه مفصل‌ها) و جنس (خواص) محورها (میرایی و سختی آن‌ها) بر پایداری مجموعه ببررسی شده است. همچنین در مورد میزان، نحوه و شرایط اثر گذاری هر پارامتر بر پایداری بحث شده است. در انتهای مجموعه‌های پایداری بر اساس پارامترهای مختلف سیستم ارائه گشته است. مشاهده می‌شود با کاهش سختی محورها و زاویه مفصل‌ها و نیز با افزایش میرایی محورها پایداری سیستم افزایش می‌یابد.

### اطلاعات مقاله

- |                      |                          |
|----------------------|--------------------------|
| مقاله پژوهشی کامل    | دریافت: ۳۱ فروردین ۱۳۹۲  |
| پذیرش: ۲۹ خرداد ۱۳۹۲ | راهه در سایت: ۲۴ دی ۱۳۹۲ |
| کلید واژگان:         | تحلیل پایداری            |
| سیستم انتقال قدرت    | شبیه‌سازی سیستم محور     |

## Stability analysis of a three-axis power transmission system

Masoud Soltan Rezaee<sup>1</sup>, Mohammad Reza Ghazavi<sup>2\*</sup>, Ali Asghar Jafari<sup>3</sup>

1- Master of Science, Mechanical Engineering, Iran Tarbiat Modares University, Tehran, Iran

2- Associate Professor, Mechanical Engineering, Iran Tarbiat Modares University, Tehran, Iran

3- Associate Professor, Mechanical Engineering, Toosi University of Technology, Tehran, Iran

\*P.O. B. 14115-111, Tehran, Iran, ghazavim@modares.ac.ir

### ARTICLE INFORMATION

Original Research Paper

Received in Revised Form 20 April 2013

Accepted 19 June 2013

Available Online 14 January 2014

#### Keywords:

Stability Analysis

Power Transmission System

Simulation of Shaft System

### ABSTRACT

In this paper, a three-axis power transmission system is modeled mathematically and simulated by software. In mathematical method, a system consisting of three flexible shafts with different rotation axis which connected through two universal joints is investigated via a three degrees-of-freedom model. The stability is analyzed by means of a monodromy matrix technique. The model is verified by comparing the results with dynamic analytical software Adams\View simulation and the results of the previous research. Then via the validated mathematical model of the system, the effects of different system parameters such as rotational velocity, non-aligned angles, shaft's properties (stiffness and damping) on the stability are investigated. Also impact, manner and conditions of each parameter on the stability are discussed. Finally, the stability charts constructed on various parameters is presented. It is observed that decreasing shaft stiffness and universal joint angle due to more stability, while decreasing shaft damping has the opposite effect.

هنگامی که سیستم از چند محور تشکیل شده باشد از کوبلینگ برای اتصال محورها استفاده می‌شود. کوبلینگ‌ها انواع مختلفی دارند از جمله صفحه‌ای، استوانه‌ای، کره‌ای، هوک<sup>۱</sup>، دورانی، انتقالی و سرعت ثابت<sup>۲</sup> [۱]. در موقعي که محورها ناهمراستا باشند از اتصال هوک که با نام‌های دیگر از جمله اتصال کارдан<sup>۳</sup>، اتصال یونیورسال<sup>۴</sup> و اتصال U نیز شناخته می‌شود برای اتصال مجموعه استفاده می‌کنند. مزیت این اتصال نسبت به بقیه اتصالات و کوبلینگ‌های بین محورها تحمل گشتاور و نیروی محوری بالا، کار در

### ۱- مقدمه

روش‌های زیادی برای انتقال توان مکانیکی وجود دارد که بنا بر شرایط کاری یک یا ترکیبی از آن‌ها مورد استفاده قرار می‌گیرد. رایج‌ترین سیستم‌های انتقال قدرت عبارت‌اند از تسمه و پولی، سیستم محور یا شافت کوبلینگ<sup>۱</sup>، چرخ و زنجیر و همچنین چرخدنده. در مجموعه‌هایی که نیاز به انتقال قدرت با سرعت بالا داشته باشند سیستم محور کاربرد پیدا می‌کند. سیستم محور مجموعه‌ای است که از چند محور (شافت) متصل به هم تشکیل شده است و در آن حرکت دورانی از محور راننده به محور(های) پیرو منتقل می‌شود.

2-Hooke's joint

3- Cardan joint

4- Universal joint

1- Shaft couplings

### Please cite this article using:

M. Soltan Rezaee, M.R. Ghazavi, A.A. Jafari, Stability analysis of a three-axis power transmission system, *Modares Mechanical Engineering*, Vol. 14, No.1, pp. 35-44, 2014.  
(In Persian)

از آن در خودروهای سنگین می‌باشد، علاوه بر این در مکانهایی که محدودیت فیزیکی وجود دارد و نمی‌توان با استفاده از تنها دو محور (و با توجه به محدوده زاویه بکارگیری مفصل) از مبدأ تولید حرکت دورانی به نقطه‌ای رسید که توان و گشتاور نیاز است بکار می‌رود.

تاکنون تحلیل سیستم‌های سه محوره کمتر انجام شده است. با روشن شدن میزان اهمیت و کاربرد این گونه سیستم‌ها، در ادامه مطالعات و پژوهش‌های انجام شده روی مجموعه‌های چندمحوری<sup>۱</sup> و نتایج این پژوهش‌ها در خصوص معادلات حرکت، پارامترهای حائز اهمیت، پایداری دینامیکی و روش‌های حل این نوع سیستم‌ها بیان شده است.

بروتی و همکاران [۱۵] به بررسی تأثیر انعطاف‌پذیری محورها بر پایداری یک سیستم دارای دو اتصال هوک پرداختند. آن‌ها در حل معادلات از روش‌های عددی بهره برند و مشاهده کردند تأثیر سرعت دوران سیستم بر پایداری مجموعه در سیستم‌های دارای محور صلب و انعطاف‌پذیر بسیار متفاوت است. دی‌اسمیت و همکاران [۱۶] درباره پایداری یک سیستم سه محوره مطالعه کردند. آن‌ها با توجه به اهمیت استفاده از سیستم انتقال قدرت با وزن کم فقط در انتهای محور سوم دیسک اینرسی در نظر گرفتند. آن‌ها تحلیل پایداری را با استفاده از تئوری فلوکه عددی انجام دادند و در نهایت نتیجه گرفتند هر کدام از دو نوع استهلاک داخلی و خارجی در شرایطی خاص موجب پایداری سیستم می‌شود. شٹو و چینگ [۱۷] به روش المان محدود<sup>۲</sup> به استخراج معادلات حرکت یک سیستم سه محوره پرداختند. هدف آن‌ها تحلیل رفتار محور میانی و بررسی اثرات سرعت، گشتاور و زاویه محورها بر مجموعه بود. آن‌ها در نهایت توانستند مقدار گشتاوری که موجب آسیب‌دیدگی سیستم می‌شود محاسبه کنند. سلطان‌رضایی و همکاران [۱۸] به بررسی پایداری یک سیستم متشکل از سه محور پرداختند. آن‌ها این سیستم را به صورت ریاضی مدل‌سازی کردند، روابط آن را خطی نمودند. سپس نواحی ناپایداری را به وسیله روش مندرمی ماتریس بر اساس پارامترهای نسبت اینرسی دیسک‌ها و زوایای کاری بررسی کردند. در تحقیق مذکور علاوه بر بررسی سیستم دو محوره، حل روابط و تحلیل پایداری سیستم سه محوره، انجام شده است.

در این تحقیق شبیه‌سازی سیستم انتقال قدرت سه محوره و تحلیل پایداری آن با تأکید بر ویژگی‌های محورها (بررسی تأثیر مقدار سختی و میرایی محورها بر ناپایداری) مد نظر می‌باشد. هر چند تحلیل پایداری با تمرکز بر محورها در سیستم‌های دو محوره صورت گرفته در سیستم‌های سه محوره انجام نشده است. علاوه بر این پایدار کردن سیستم با تغییر جنس (خواص) محورها و در نهایت بدست آوردن مناطق پایدار و اینم یک مجموعه دارای سه محور و دو مفصل هوک مورد نظر است. روش تحلیل پایداری در این پژوهش تکنیک مندرمی ماتریس است که می‌تواند تمام مناطق ناپایداری را بدست آورد و امروزه بیش از دیگر روش‌ها در سیستم‌های با تحریک پارامتریک کاربرد دارد. در اینجا بعضی از آخرین تحقیقاتی که در مورد سیستم دو محوره صورت گرفته است در مورد سیستم سه محوره هم انجام شده است.

## ۲- شرح مسئله

اگر ضرایب موجود در معادله دیفرانسیل حرکت سیستم دارای پارامترهای تحریک خارجی باشند در صورتی که فرکانس تحریک خارجی نسبت

7- Multi-shaft system  
8- Finite elements

زاویه‌های ناهمراستایی نسبتاً زیاد، قیمت پایین و تعمیر آسان می‌باشد. البته استفاده از این اتصال مشکلاتی نیز دارد؛ ناهمراستایی محوری سبب می‌شود محور(های) پیرو نوسان متناوب داشته باشد (حتی اگر سرعت محور رانده ثابت باشد) که این نوسان ارتباطات پیچشی را از محور رانده به محور(های) پیرو منتقل می‌کند و این امر می‌تواند موجب ناپایداری سیستم شود [۲].

چانگ [۳] دو مدل یک درجه آزادی خطی و غیر خطی را برای دستیابی به تقریب‌های مرتبه بالاتر مطالعه نمود. او تحلیل پایداری سیستم را به روش پرتریشن<sup>۳</sup> انجام داد. آسوکتان و هوانگ [۴] به یک مدل دو درجه آزادی خطی پرداختند و از یک روش میانگین‌گیری برای تعیین نواحی تشدید پارامتری اولیه بهره برند. همچنین آسوکتان و وانگ [۵] مدلی مشابه [۴] را به روش توان لیاپانوف<sup>۴</sup> بررسی نمودند. بعد از آن آسوکتان و میهن [۶] یک مدل دو درجه آزادی غیر خطی را مورد مطالعه قرار دادند و با روش عددی بعضی از رفتارهای نامنظم سیستم را بدست آورندند. دی‌اسمیت و همکاران [۷] یک مدل دو درجه آزادی با استهلاک ویسکوز در نظر گرفتند و ناپایداری سیستم را با تئوری فلوکه<sup>۵</sup> بررسی کردند. مازآی و همکاران [۸] به مطالعه یک سیستم محور با یک اتصال هوک پرداختند و نواحی ناپایداری را به روش ماتریس مندرمی<sup>۶</sup> بدست آورندند. آن‌ها تأثیر وجود مستهلك‌کننده در پایداری سیستم را در مدل انعطاف‌پذیر خطی و نیز مدل صلب خطی و غیر خطی بررسی کردند [۹]. همچنین در مقاله دیگری [۱۰] کمترین مقدار استهلاک مورد نیاز سیستم را برای انتقال از ناحیه ناپایدار پارامتریک به پایدار بدست آورندند. آن‌ها برای این منظور یک مدل صلب بر اساس مدل سایگو [۱۱] در نظر گرفتند و نواحی ناپایداری را به روش نامحدود هیل<sup>۷</sup> تخمین زدند. مازآی و اسکات [۱۲] به بررسی یک مدل دو درجه آزادی با سرعت ورودی شتابدار پرداختند. سرعت زاویه‌ای محور رانده کمتر از مقداری که موجب تشدید سیستم شود شروع می‌شد و به صورت خطی افزایش می‌باشد. آن‌ها این مسئله را به روش مندرمی ماتریس و تعیین نامحدود هیل تحلیل کردند. سپس مازآی [۱۳] به مطالعه درباره تشدید در سیستم انتقال قدرت و عبور از آن حالت پرداخت. او مدلی مانند [۱۲] در نظر گرفت. مازآی معادلات دیفرانسیل ناهمگن سیستم را که معادلاتی با دوره تناوب مشخص بود استخراج و به روش انرژی بررسی کرد که یک سیستم به چه میزان می‌تواند در حالت تشدید بماند بدون آنکه به آن آسیبی وارد شود. بولوت و پارلار [۱۴] یک مدل دو بعدی غیر خطی را خطی سازی کرد، تحلیل پایداری آن را به کمک روش مندرمی ماتریس انجام دادند.

در مقالات ذکر شده پژوهشگران به مطالعه سیستم‌هایی با دو محور پرداخته بودند. این سیستم‌ها دارای دو درجه آزادی می‌باشند. در بسیاری از سیستم‌های انتقال قدرت لازم است انتقال سرعت و گشتاور در خارج از صفحه و در محیط فضایی انجام شود. در چنین شرایطی نیاز به مدل سه درجه آزادی است که در آن از سه محور<sup>۸</sup> برای انتقال حرکت دورانی استفاده می‌شود. در هنگام طراحی و پیش از ساخت سیستم تحلیل نواحی ناپایداری حائز اهمیت است.

سیستم انتقال قدرت در سیستم‌های پیشرانش و خطوط انتقال حرکت مورد نیاز است. از جمله کاربردهای سیستم انتقال قدرت سه محوره، استفاده

1- Perturbation method

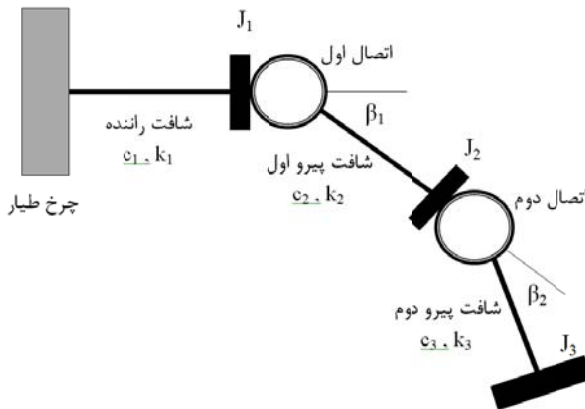
2- Lyapunov exponent

3- Floquet theory

4- Monodromy matrix method

5- Hill's infinite method

6- Three-axis



شکل ۱ شماتیک یک سیستم محور در سه بعد (محور راننده و محور پیرو دوم می‌توانند در صفحات مختلف باشند).

در این روابط  $\theta_1$ ,  $\theta_2$  و  $\theta_3$  مختصات پیچشی‌اند و  $\dot{\theta}_1$ ,  $\dot{\theta}_2$ ,  $\dot{\theta}_3$  و  $\ddot{\theta}_1$ ,  $\ddot{\theta}_2$ ,  $\ddot{\theta}_3$  به ترتیب نشان دهنده مشتقات اول و دوم نسبت به زمان است.  $\eta_{01}$  و  $\eta_{02}$  نسبت انتقال سرعت در اولین و دومین اتصال هوک می‌باشد [۲۱].

$$\eta_i = \frac{\Omega_{\Theta-i}}{\Omega_{I-i}} = \frac{\cos \beta_i}{1 - \sin^2 \beta_i \sin^2 \varphi_i}; \quad i = 1, 2 \quad (4)$$

$$\varphi_1 = \Omega_0 t + \theta_1 \quad (5)$$

$$\varphi_2 = \Omega_{\Theta 1} t + \theta_2 \quad (6)$$

معادلات حرکت سیستم غیر خطی می‌باشند. با بسط آن‌ها به وسیله سری مکلوران  $\dot{\theta}_1$ ,  $\dot{\theta}_2$ ,  $\dot{\theta}_3$ ,  $\ddot{\theta}_1$ ,  $\ddot{\theta}_2$ ,  $\ddot{\theta}_3$  تا جملات مرتبه دوم و صرف نظر از جملات غیر خطی، با فرض کوچک بودن مقادیر ارتعاشی وجود آن می‌باشد. فرکانس‌های مرتبه بالا، معادلات (۳) تا (۵) به صورت خطی در می‌آیند [۱۹].

با تعریف پارامترهای بی‌بعد به صورت رابطه (۷) معادلات حرکت به صورت بی‌بعد درآمده و در فرم برداری-ماتریسی به صورت رابطه (۸) نوشته می‌شود.

$$\tau = \Omega_0 t, \quad \Omega = \frac{\Omega_0}{\sqrt{k_1/J_1}}, \quad \zeta = \frac{c_1}{\sqrt{k_1 J_1}} \quad (7)$$

$$\begin{Bmatrix} \theta_1'' \\ \theta_2'' \\ \theta_3'' \end{Bmatrix} + [E] \begin{Bmatrix} \theta_1' \\ \theta_2' \\ \theta_3' \end{Bmatrix} + [P] \begin{Bmatrix} \theta_1 \\ \theta_2 \\ \theta_3 \end{Bmatrix} = \begin{Bmatrix} 0 \\ -\eta'_{01}(\tau) \\ -\eta'_{01}(\tau)\eta'_{02}(\tau) \end{Bmatrix} \quad (8)$$

در این رابطه  $\theta_1'$ ,  $\theta_2'$ ,  $\theta_3'$  و  $\theta_1''$ ,  $\theta_2''$ ,  $\theta_3''$  به ترتیب نشان دهنده مشتقات اول و دوم نسبت به  $\tau$  می‌باشند و E و P ماتریس‌های  $3 \times 3$  هستند که در اینجا نشان داده شدند.

معادله (۸)، رابطه خطی‌سازی شده برای ارتعاشات پیچشی سیستم مورد نظر است که دوره تناوب آن  $\pi$  را داری می‌باشد.

$$\eta_i(\tau) = \eta_i(\tau + \pi) = \frac{\cos \beta_i}{1 - \sin^2 \beta_i \sin^2 \tau}; \quad i = 1, 2 \quad (9)$$

#### ۴- تحلیل پایداری دینامیکی

معادله (۸) یک دستگاه معادلات دیفرانسیل خطی با ضرایبی با دوره تناوب  $\pi$  (یک دستگاه معادلات متیو-هیل) می‌باشد. پایداری این دستگاه به روش مندرمی ماتریس انجام می‌شود. روش مندرمی ماتریس [۲۱]، تکنیکی ساده و قابل اطمینان است و برای تحلیل پایداری در سیستم‌هایی که تحریک پارامتریک دارند و مقدار ضرایب هارمونیک وابسته به زمان است مورد

صحیحی از فرکانس مودهای ارتعاشی سیستم باشد، این ضرایب به صورت تحریک پارامتریک برای سیستم عمل می‌کنند و در نتیجه ناپایداری پارامتریک در سیستم بوجود می‌آید [۱۹]. این نوع ناپایداری در سیستم محور کمتر بررسی شده و ناشی از کوپلینگ پیچشی اعمالی بر محور توسط اتصال یا کوپلینگ می‌باشد. در این مقاله پایداری دینامیکی یک سیستم محور که با اتصال هوک متصل گشته بررسی شده است. برای این منظور یک مدل سه درجه آزادی شامل سه محور الاستیک پیچشی که بدون جرم و غیر هم محور بوده و هر کدام در یک سر به دیسکی صلب متصل گشته در نظر گرفته شده است (شکل ۱). با توجه به این مدل، معادلات حرکت سیستم استخراج شده، با روش مندرمی ماتریس مورد تحلیل قرار گرفته است.

پس از آن سیستم انتقال قدرت در نرم‌افزار ادمز/ویو شبیه‌سازی شده است. به منظور اعتبارسنجی مدل‌سازی ریاضی نتایج حاصل از آن با نتایج بدست آمده از شبیه‌سازی نرم‌افزاری مقایسه شده است. برای این امر دو نقطه نزدیک به هم که توسط مدل ریاضی و تحلیل پایداری به روش مندرمی ماتریس، یکی ناپایدار و دیگری پایدار گزارش گردیده، در نظر گرفته شده است. بررسی پایداری این نقاط در نرم‌افزار ادمز/ویو انجام و با نتایج مدل‌سازی ریاضی مقایسه شده است. همچنین با فرض سیستم دو محوره نتایج کار با پژوهش‌های گذشته مورد مقایسه قرار گرفته است.

پس از آن، یکسری مقادیر خاص به عنوان حالت مبدأ برای سیستم در نظر گرفته شده است که بدست آمده از مراجع گذشته [۱۴] می‌باشد. طی چند مرحله هر بار یکی از پارامترهای سیستم (سرعت ورودی، زاویه اتصال، سختی و میرایی محورها) تغییر می‌کند که با توجه به نتایج حالت مبدأ تأثیر آن پارامتر بر سیستم، اعم از پایدار یا ناپایدار کردن سیستم و همچنین میزان تأثیر بر پایداری دینامیکی مجموعه مشخص می‌شود. علاوه بر این تأثیر خواص محورها (سختی و میرایی پیچشی آن‌ها) بر پایداری سیستم بررسی شده است.

در نهایت نتایج به صورت جداول پایداری بر حسب پارامترهای مختلف سیستم از جمله زاویه محورها، خواص آن‌ها سرعت دورانی و زمان گزارش شده است.

#### ۳- مدل ریاضی

در این مدل سه محور وجود دارد که محورهای راننده، پیرو اول و پیرو دوم نامیده شده‌اند. زاویه ناهمراستایی (اختلاف زاویه محورهای) محور راننده و محور پیرو اول  $\beta_1$  و زاویه ناهمراستایی محور پیرو اول و محور پیرو دوم  $\beta_2$  نامیده شده است. هر محور دارای یک درجه آزادی است که در مجموع سیستم دارای سه درجه آزادی بوده و حالت فضایی دارد. هر محور دارای سختی پیچشی  $k_i$  و استهلاک ویسکوز پیچشی  $c_i$  است و به یک دیسک با اینرسی دورانی  $J_i$  در انتهای سمت راست متصل گشته است. در انتهای سمت چپ محور راننده یک چرخ طیار وجود دارد تا این محور با سرعت ثابت  $\Omega_0$  دوران کند.

ارتعاشات پیچشی سیستم طبق روابط (۱-۳) بدست می‌آید [۱۸].

$$J_1 \ddot{\theta}_1 + c_1 \dot{\theta}_1 - \eta_{01} c_2 \dot{\theta}_2 + k_1 \theta_1 - \eta_{01} k_2 \theta_2 = 0 \quad (1)$$

$$J_2 [\ddot{\theta}_2 + \eta_{01} \dot{\theta}_1 + \dot{\eta}_{01} (\Omega_0 + \dot{\theta}_1)] + c_2 \dot{\theta}_2 - \eta_{02} c_3 \dot{\theta}_3 + k_2 \theta_2 - \eta_{02} k_3 \theta_3 = 0 \quad (2)$$

$$+ c_3 \dot{\theta}_3 - \eta_{02} c_1 \dot{\theta}_1 + k_3 \theta_3 - \eta_{02} k_1 \theta_1 = 0 \quad (3)$$

$$J_3 [\ddot{\theta}_3 + \eta_{02} (\dot{\theta}_2 + (\eta_{01} \dot{\theta}_1 + \dot{\eta}_{01} (\Omega_0 + \dot{\theta}_1))) + \dot{\eta}_{02} (\dot{\theta}_2 + \eta_{01} (\Omega_0 + \dot{\theta}_1))] + c_1 \dot{\theta}_3 + k_1 \theta_3 = 0$$



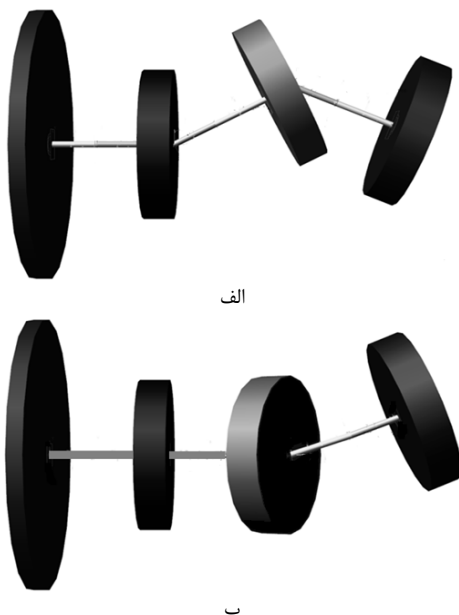
به دلیل اینکه در مراجع مختلف حل مسئله‌ای مشابه موجود نیست مسئله بدون در نظر گرفتن محور پیرو دوم و اتصال هوک دوم حل و با نتایج موجود در مراجع مقایسه شده است.

#### ۶- مقایسه نتایج مدل‌سازی و شبیه‌سازی

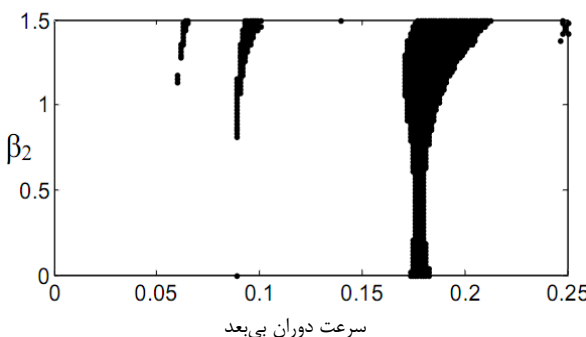
جهت صحت‌سنجی مدل‌سازی ریاضی نتایج آن با نتایج شبیه‌سازی نرم‌افزاری در ادمز مقایسه شده اند. برای این امر پارامترهای مسئله بدین صورت فرض شده‌اند:  $\alpha_1 = 1$ ,  $\beta_1 = 0.4$ ,  $\mu_1 = \mu_2 = 10$ ,  $\gamma_1 = 1$ ,  $\gamma_2 = 10$ ,  $\alpha_2 = 1$ .

شکل ۳ نشان دهنده نتایج تحلیل مندرجی و مدل ریاضی مسئله می‌باشد. نواحی تیره، نشان‌دهنده نواحی ناپایداری سیستم محور می‌باشد. در این گراف به ازای  $\beta_2 = 0.5$  در سرعت دورانی بی بعد  $\Omega = 0.18$ ، سیستم ناپایدار است (چنان که در شکل ۳ قابل مشاهده است، این نقطه در ناحیه تیره رنگ قرار دارد؛ مناطق تیره رنگ نشان دهنده نقاط ناپایدار سیستم می‌باشند). و در  $\Omega = 0.2$ ، پایدار گزارش شده است (این نقطه جزء نواحی تیره رنگ نیست).

سپس در مدل ادمز/بیو، پایداری سیستم با شرایط و فرضیات مذکور و با این دو سرعت دورانی بررسی شده است. با توجه به فرض  $\mu_1 = \mu_2 = 1$  در [۱۴, ۱۸] و پارامترهای تعریف شده برای بی بعد سازی در این مراجع رابطه (۱۶) بدست می‌آید:



شکل ۲ سیستم انتقال قدرت سه محوره، شبیه‌سازی شده در نرم‌افزار ادمز/بیو؛ الف: دید از روی رو، ب: دید از بالا.



شکل ۳ تحلیل پایداری حاصل از مدل‌سازی ریاضی (نواحی تیره، ناپایدارند)

#### ۵-۳- دیسک دوار

در سیستم‌های انتقال قدرت معمولاً در انتهای هر محور یک پولی یا چرخ‌دنده متصل می‌گردد که جرم و قطر آن چندین برابر محور بوده، به آن فیکس شده است و هیچ گونه حرکتی نسبت به آن ندارد (در این موقع از ترکیبی از انواع سیستم‌های انتقال قدرت، به منظور انتقال حرکت استفاده شده است). این قسمت به صورت یک دیسک دوار صلب در نظر گرفته شده است.

در ادمز/بیو این دیسک با یک استوانه که نسبت به محور، قطورتر و دارای ممان اینرسی قطبی بالاتری می‌باشد و به وسیله اتصال فیکس<sup>۱</sup> به محور متصل گشته، مدل شده است.

#### ۴-۴- مفصل

بر اساس کاربرد سیستم انتقال قدرت، محورها می‌توانند ناهمراستا باشند. برای اتصال محورهای غیر هم‌محور روش‌های زیادی وجود دارد [۱]. یک راه متداول استفاده از اتصال هوک است. این مفصل جزء مفاصل با انتقال سرعت غیریثابت<sup>۲</sup> به حساب می‌آید. این مفصل دو قسمت دارد که هر قسمت به یک محور متصل می‌شود. این دو قسمت به وسیله یک قطعه صلیب مانند به نام کراس<sup>۳</sup> به هم متصل می‌گردد. رابطه سرعت ورودی و خروجی در این مفاصل (سرعت محور راننده و پیرو) به  $\square$ ، نسبت انتقال سرعت [۲۰] بستگی دارد. همچنین مقدار نسبت انتقال سرعت، به زاویه ناهمراستایی محورها و سرعت ورودی به قسمت اول مفصل مربوط است.

$$\Omega_{\Theta} = \eta_j \Omega_I, \eta_j = \frac{\cos \beta}{1 - \sin^2 \beta \sin^2 \varphi} \quad (15)$$

چنان که در معادله (۱۵) مشاهده می‌شود، در صورتی که دو محور هم‌راستا باشند این مفصل به صورت یک اتصال سرعت ثابت عمل می‌کند (سرعت محور راننده و پیرو یکسان می‌باشد). هرچه زاویه اتصال هوک بیشتر باشد سرعت انتقالی به محور پیرو کمتر می‌شود؛ تا جایی که در زاویه ۹۰ درجه قفل شده، توانایی حرکتش را از دست می‌دهد (در عمل معمولاً زاویه ناهمراستایی به خاطر محدودیت‌های طراحی کوچکتر از ۴۵ درجه در نظر گرفته می‌شود).

در ادمز/بیو مفصل هوک تعریف شده است و مطابق واقعیت دارای دو قسمت است که هر کدام از قسمت‌ها باید در راستای یکی از محورها تعریف شوند.

#### ۵-۵- چرخ طیار

سرعت ورودی به سیستم محور ثابت در نظر گرفته می‌شود. در سیستم‌های الکتریکی از موتور برق و در سیستم‌های مکانیکی از چرخ طیار برای دوران محور راننده با سرعت ثابت استفاده می‌شود. بدین منظور در این مدل‌سازی در انتهای سمت چپ محور راننده یک چرخ طیار به شکل استوانه‌ای فیکس شده به محور اول تعریف شده است. سیستم انتقال قدرت شبیه‌سازی شده در شکل ۲ نشان داده شده است.

#### ۶- بررسی صحت مدل‌سازی ریاضی و تحلیل

به منظور سنجش اعتبار کار دو روش مورد استفاده قرار گرفته است. ابتدا نتایج مدل‌سازی ریاضی با نتایج شبیه‌سازی در یک نقطه مقایسه شده است. سپس به مقایسه نتایج مدل‌سازی با کارهای گذشته پرداخته شده است. البته

1- fixed

2- Non-Constant velocity joint

3- cross

$$\Omega_0 = 0.18 \text{ rad s}^{-1} \quad (24)$$

طبق (۲۳)، در نقطه پایدار  $\Omega = 0.2$  می‌توان رابطه (۲۵) را نوشت.

$$\Omega_0 = 0.2 \text{ rad s}^{-1} \quad (25)$$

با توجه به مقادیر این پارامترها با نرمافزار ادمزاویو به حل مسئله پرداخته شده است. محور عمودی این نمودار زاویه پیچشی انتهای محور سوم نسبت به ابتدای آن و محور افقی زمان می‌باشد. این نمودارها به ترتیب بازی سرعت‌های ورودی  $\Omega_0 = 0.18 \text{ rad s}^{-1}$  و  $\Omega_0 = 0.2 \text{ rad s}^{-1}$  ارائه شده‌است (شکل ۴-الف و ۴-ب). این شکل مربوط به یک سیستم واقعی که غیرخطی بوده و در آن تقریبی وجود ندارد می‌باشد.

این دو شکل از لحظه دامنه فاز (نقطه شروع) و دوره تنابوب مورد بررسی و مقایسه قرار می‌گیرند. چنان‌که ملاحظه می‌شود هر دو نمودار از لحظه فاز و نیز دوره تنابوب شباهت دارند (دوره تنابوب هر دو گراف مطابق رابطه (۹)، پارهیان می‌باشد).

در شکل ۴-الف دامنه نوسانی با گذشت زمان افزایش می‌یابد. این امر در نهایت باعث می‌شود حرکت سیستم محور مختلط گردد، یعنی سیستم انتقال قدرت در این شرایط (سرعت دورانی ورودی، زاویه محورها، جنس محورها و نسبت اینرسی دیسک‌ها) ناپایدار است.

در شکل ۴-ب مشاهده می‌شود که با گذشت زمان دامنه نوسانات کاهش می‌یابد؛ با توجه به این نمودار گفته می‌شود در این وضعیت سیستم انتقال قدرت پایدار است. این بدان معناست که با وجود نوساناتی که در سیستم وجود دارد سیستم به حرکت دورانی ادامه می‌دهد و مجموعه از حالت پایدار خارج نمی‌شود؛ بلکه با گذشت زمان بعضی نوسانات سیستم حذف می‌شود و یا کاهش می‌یابد (حال گذرای سیستم از بین می‌رود و تنها حالت دائم باقی می‌ماند).

$$\mu_1 = \mu_2 = 1 \Rightarrow \frac{k_2}{k_1} = \frac{k_3}{k_1} = 1 \Rightarrow k_3 = k_2 = k_1 \quad (26)$$

پس سختی پیچشی سه محور برابر است. با توجه به مقادیر تجربی و عملی مقادیر  $k$  به صورت رابطه (۱۷) فرض می‌شود.

$$k_3 = k_2 = k_1 = 100 \text{ kgm}^2\text{s}^{-2} \quad (17)$$

به همین ترتیب با توجه به فرض  $\gamma_1 = 1, \gamma_2 = 10, \alpha_1 = \alpha_2 = 1$  و  $\beta_1 = 1, \beta_2 = 10$  به رابطه (۱۸) می‌رسیم.

$$\alpha_1 = \alpha_2 = 1 \Rightarrow \frac{c_2}{c_1} = \frac{c_3}{c_1} = 1 \Rightarrow c_3 = c_2 = c_1 \quad (18)$$

$$\gamma_1 = 1, \gamma_2 = 10 \Rightarrow \frac{J_2}{J_1} = 1, \frac{J_3}{J_1} = 10 \Rightarrow J_3 = 10J_2 = 10J_1 \quad (19)$$

پس استهلاک پیچشی سه محور برابر فرض شده است. همچنین اینرسی دوران دیسک اول و دوم برابر ولی اینرسی دوران دیسک سوم ده برابر دیسک اول در نظر گرفته شده است. با توجه به مقادیر تجربی و کاری فرض می‌شود:

$$J_3 = 1000 \text{ kgm}^2 \quad (20)$$

بر اساس فرض  $\gamma = 0.001$  و معادلات (۱۶) و (۱۸) می‌توان نوشت

$$\gamma = \frac{c_1}{\sqrt{k_1 J_1}} \Rightarrow c_1 = 0.1 \text{ kgm}^2\text{s}^{-1} \quad (21)$$

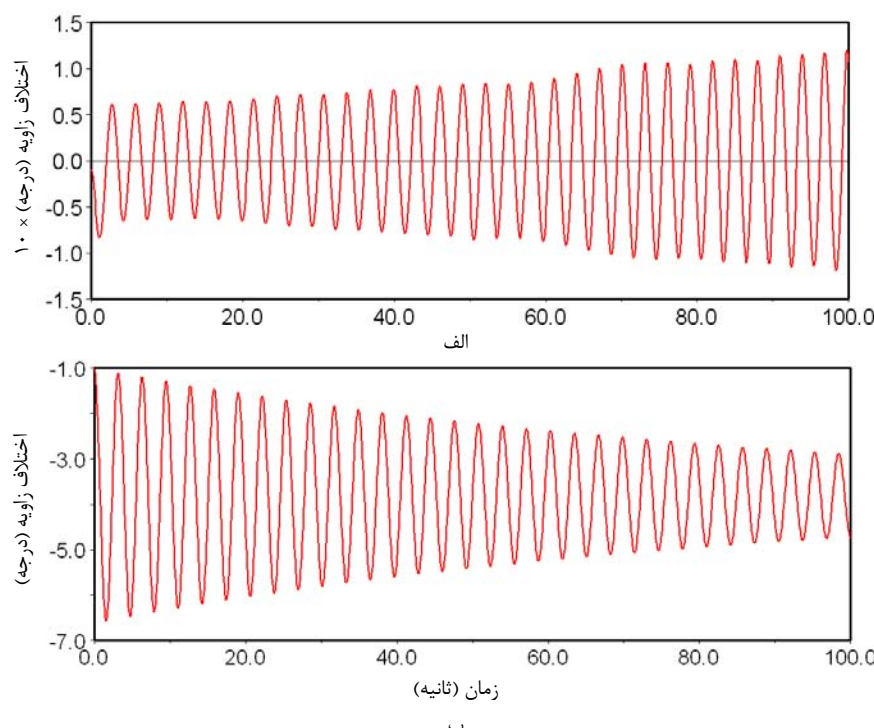
و با توجه به رابطه (۱۸) می‌توان رابطه (۲۲) را نتیجه گرفت

$$c_3 = c_2 = c_1 = 0.1 \quad (22)$$

و طبق (۱۴)، (۱۷) و (۱۹) رابطه (۲۳) بدست می‌آید:

$$\Omega = \frac{\Omega_0}{\sqrt{k_1/J_1}} \Rightarrow \Omega_0 = \Omega \text{ kgm}^2\text{s}^{-1} \quad (23)$$

در نقطه ناپایدار اول و با در نظر گرفتن سرعت دورانی بی‌بعد ۱۸ رابطه (۲۴) نتیجه‌گیری می‌شود.



شکل ۴ تحلیل پایداری، زاویه پیچشی انتهای محور سوم نسبت به ابتدای این محور بر حسب زمان؛ ۴-الف: بازی سرعت ورودی

$$\Omega_0 = 0.2 \text{ rad s}^{-1}, \Omega_0 = 0.18 \text{ rad s}^{-1} \quad (4-ب)$$

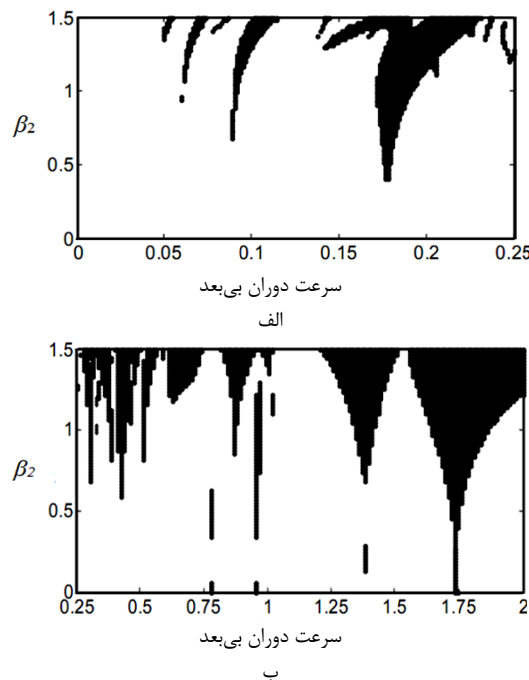
سیس تأثیر تغییر  $\mu_2$  بر پایداری سیستم بررسی شده است. نمودار پایداری در دو مقدار مختلف نسبت سختی  $1 = \mu_2$  و  $10 = \mu_2$  (شکل ۶) ارائه شده است.

با مقایسه این دو شکل مشخص می‌شود با افزایش نسبت ضریب سختی محورها (افزایش سختی محور سوم نسبت به اول)، مکان قله‌های ناپایداری تغییر می‌کند. قله مکانی است که در آن تشدید به وجود آمده باشد. این تشدید ناشی از عوامل خارجی نیست بلکه زمانی بروز می‌کند که فرکانس تحریکی که اتصال یونیورسال به صورت متنابض در سیستم ایجاد می‌کند ضریب یا ترکیبی از فرکانس‌های مودهای ارتعاشی سیستم باشد. این سیستم سه درجه آزادی دارد و از این رو دارای سه فرکانس طبیعی پایه است. جابجایی قله‌ها نشان می‌دهد که تغییر سختی سیستم فرکانس‌های طبیعی سیستم را تغییر می‌دهد. همچنین افزایش نسبت سختی باعث می‌شود نواحی تیره رنگ که نشان‌دهنده مناطق ناپایداری سیستم‌آند افزایش یابند؛ این امر در سرعت‌های بالاتر مشهودتر است.

در شکل ۸ تحلیل ناپایداری بر اساس نسبت سختی محورها انجام شده است. این نمودار نشان می‌دهد هرچه سرعت نسبی دوران بیشتر باشد، با افزایش نسبت سختی، نواحی ناپایداری عریضتر می‌شوند و سیستم به سمت ناپایداری پیش می‌رود.

پس از آن بررسی تغییر پارامتر  $\alpha_2$  بر پایداری سیستم انجام شده است. نمودار پایداری در دو مقدار مختلف نسبت ضریب میرایی محورها  $1 = \alpha_2$  و  $10 = \alpha_2$  (شکل ۹) بررسی و نتایج به فرم جداول پایداری بر حسب جفت پارامترهای سیستم مذکور شده است تا تأثیر تغییر  $\alpha_2$  بر ناپایداری سیستم مورد بررسی قرار گیرد.

مقایسه این دو شکل نشان می‌دهد با افزایش نسبت میرایی محورها (افزایش میرایی محور سوم نسبت به اول)، نواحی ناپایداری کاهش می‌یابند. این امر به خصوص در سرعت‌های ورودی کمتر واضحتر است. این نمودار همچنین مشخص می‌کند تغییر نسبت میرایی محورها تأثیری بر فرکانس‌های طبیعی ندارد؛ زیرا مکان قله‌ها (سرعت‌هایی که بازی آن‌ها تشدید رخ می‌دهد)، در مقایسه با حالت پایه (شکل ۵) تغییری نکرده‌اند.



شکل ۶ اثر زاویه ناهمراستایی دوم بر ناپایداری در  $\alpha_2 = 1$  و  $\mu_2 = 1$

## ۲-۶ مقایسه نتایج مدل‌سازی با مراجع گذشته

به دلیل اینکه در مراجع مختلف حل مسئله مورد نظر (سیستم سه محوره انعطاف‌پذیر) موجود نبوده، جهت بررسی دقت روش حل بکار گرفته شده، مسئله بدون محور پیرو دوم و در نتیجه اتصال هوک دوم حل و با نتایج ثبت شده در مراجع مقایسه شده است. چنین فرضی به معنای آن است که مدل حالت صفحه‌ای داشته و در دو بعد توانایی حرکت دارد. تحلیل پایداری با در نظر گرفتن این مقادیر (مطابق مرجع [۱۴]) برای پارامترهای بی‌بعد انجام شده است  $\alpha_1 = 0.3$ ,  $\beta_1 = 0.001$ ,  $\gamma_1 = 100$ ,  $\beta_2 = 0.2$ ,  $\Omega = 5$ .

با در نظر گرفتن مقادیر فوق، به تحلیل پایداری مدل ارائه شده در این مقاله پرداخته شده است. نتایج به صورتی است که اثر نسبت سختی محورها را در نسبت سرعت‌های مختلف بر پایداری مجموعه نشان می‌دهد و در شکل ۵-الف گزارش شده است. نتایج کارهای بولوت و پارلار در سال ۲۰۱۱ میلادی [۱۴] در شکل ۵-ب ارائه شده است.

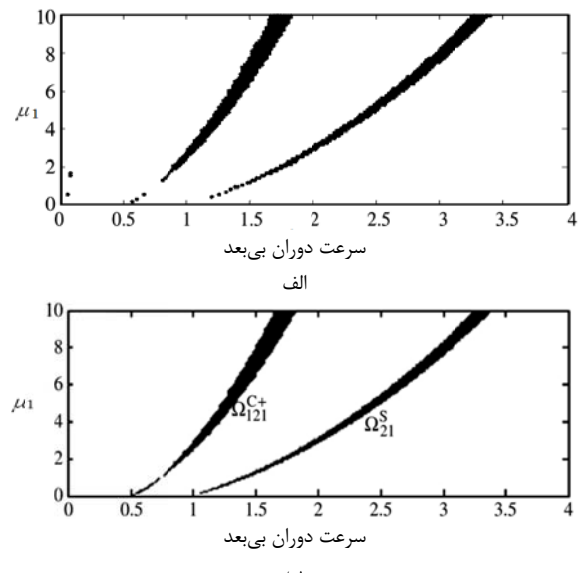
چنان‌که مشاهده می‌شود نتایج تحلیل پایداری از نظر شکل ظاهری و همچنین مکان، شیب و عرض نواحی ناپایداری انطباق خوبی داشته و تفاوت قابل توجهی وجود ندارد.

## ۳- نتایج

در این بخش تحلیل پایداری دینامیکی سیستم در قالب موارد عددی انجام و نتایج به فرم جداول پایداری بر حسب جفت پارامترهای  $\Omega - \beta_2$ ,  $\Omega - \mu_2$  و  $\Omega - \alpha_2$  در  $\mu_2$  و  $\alpha_2$  های مختلف داده شده است تا تأثیر تغییر این ۴ پارامتر روی پایداری سیستم مورد بررسی قرار گیرد.

در این موارد مشابه مراجع گذشته [۱۴، ۱۸]،  $\alpha_1 = 0.001$ ,  $\beta_1 = 0.2$  rad,  $\gamma_1 = 1$ ,  $\mu_1 = 1$  و  $\mu_2 = 10$  بررسی شده و پایداری سیستم به صورت نقطه به نقطه بررسی شده است (فاصله نقاط ۰/۰۱ و ۰/۱).

کمتر از آن در نظر گرفته شده است تا نتایج با دقت لازم بدست آیند. در ادامه نمودار اثر میزان ناهمراستایی اتصال هوک دوم ( $\beta_2$ ) و نسبت سرعت دوران محور راننده بررسی شده است (شکل ۶). در این نمودارها محور افقی نشان‌دهنده نسبت سرعت محور راننده است؛ همچنین نواحی تیره نشان‌دهنده نواحی ناپایداری سیستم محور می‌باشد.



شکل ۵ اثر زاویه ناهمراستایی، (الف) تحلیل ارائه شده توسط مدل مقاله، (ب) تحلیل گزارش داده شده در دیگر مراجع [۱۴]

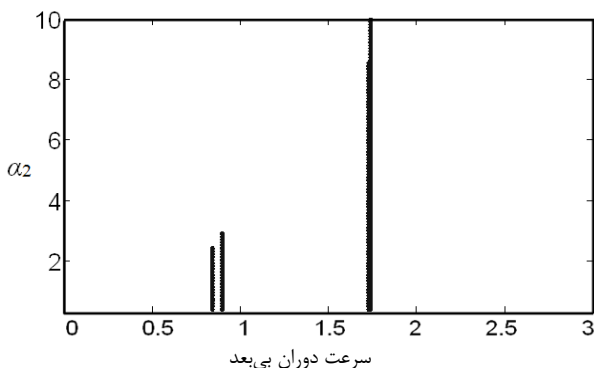
در شکل ۱۰ تحلیل ناپایداری بر اساس نسبت میرایی محورها انجام شده است. این نمودار نشان می‌دهد در سرعت‌های نسبی پایین، با افزایش میرایی محور، نواحی تیره رنگ محو می‌شوند و به عبارتی دامنه نواحی ناپایدار کاهش می‌یابد و بعضی نقاط که قبلًا تیره بوده‌اند (در ناحیه ناپایدار قرار داشتند)، دیگر تیره نیستند (در وضعیت پایدار واقع شده‌اند). همچنین مشاهده می‌شود نواحی ناپایدار این شکل عمودی می‌باشند در صورتی که در شکل ۸ به صورت مایل بودند. بنابراین تغییر نسبت سختی محورها (شکل ۸)، باعث تغییر ارتعاشی ندارد ولی تغییر نسبت سختی محورها (شکل ۱۰)، باعث تغییر فرکانس مودهای ارتعاشی سیستم می‌شود. مایل بودن مناطق تیره شکل ۸ بیانگر آن است که با تغییر سختی سرعت‌های دورانی که بازی آن تشدید پارامتریک رخ می‌دهد، تغییر می‌کند.

کاربرد این نمودارها هنگامی است که نیاز به طراحی یک سیستم انتقال قدرت سه محوره باشد. با در نظر گرفتن پارامترهای سیستم و با مراجعه به این گرافها مشخص می‌شود که سیستم مورد طراحی از لحاظ ناپایداری چه وضعیتی دارد و اگر در وضعیت ناپایدار قرار دارد از ساخت آن اجتناب شود. علاوه بر این اگر ضروری باشد سیستمی طراحی گردد و در شرایطی خاص (از نظر سرعت چرخش و زاویه اتصال محورها) در منطقه ناپایداری قرار گرفته باشد، می‌توان با توجه به گرافها به نحوی نسبت میرایی سیستم را افزایش داد که از وضعیت ناپایدار به پایدار منتقل شود. چنان‌که با مشاهده شکل‌های ۶ و ۹ مشخص می‌شود، نواحی تیره رنگ (ناپایدار) در شکل ۹ در اثر افزایش ضریب میرایی محورها، کاهش یافته‌اند. بنابراین می‌توان نقطه‌ای خاص که در شکل ۶ در منطقه ناپایداری قرار دارد را با کاهش دامنه ناپایداری (مساحت نواحی تیره) از حالت ناپایدار خارج کرد.

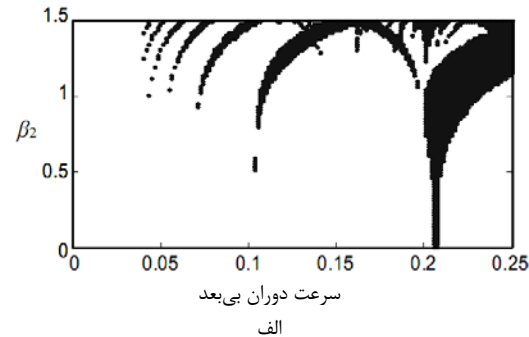
#### ۸- نتیجه‌گیری

حرکت یک سیستم انتقال قدرت سه محوره به صورت سه بعدی (فضایی) مدل‌سازی ریاضی شده است. پایداری دینامیکی این مجموعه به روش مندرمی ماتریس بررسی و نواحی ناپایداری بر اساس پارامترهای مختلف سیستم نشان داده است. همچنین این سیستم به وسیله نرم‌افزار تحلیل دینامیکی ادمز شبیه‌سازی شده است. مسئله مورد مطالعه در این پژوهش بررسی اثرات ناهمراستایی محورها بر پایداری سیستم در زوایای مختلف بین محورهای پیرو اول و پیرو دوم، همچنین تجزیه و تحلیل تأثیر خواص محورها بر پایداری مجموعه بوده است.

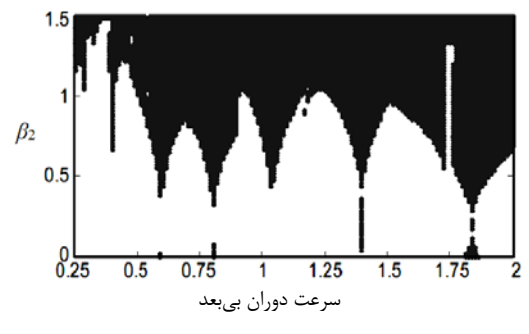
پارامترهای  $\beta$  (زاویه اتصال هوك)،  $\mu$  (نسبت ضریب سختی محورها)،  $\alpha$  (نسبت ضریب میرایی محورها) و  $\Omega$  (نسبت سرعت محور) اثرات قابل توجهی روی پایداری دینامیکی سیستم دارند.



شکل ۱۰ اثر نسبت ضریب میرایی محورها بر ناپایداری

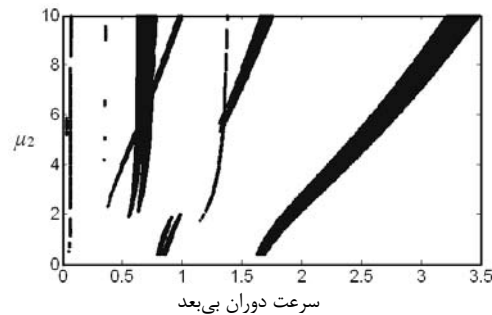


الف

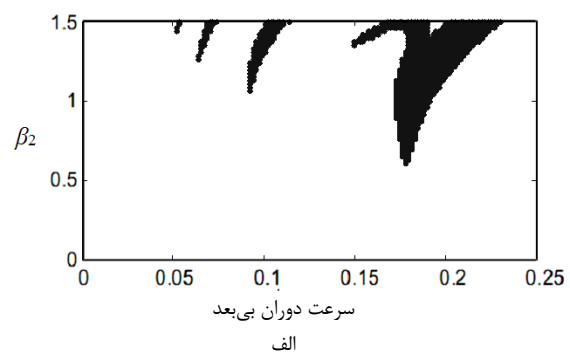


ب

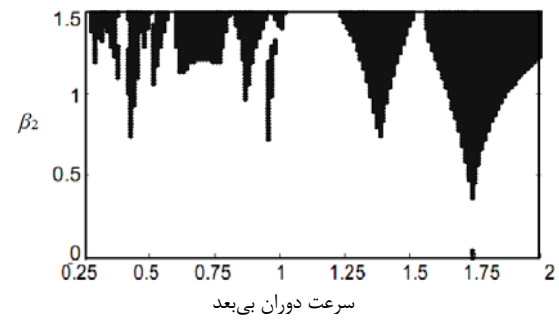
شکل ۷ اثر نسبت ضریب سختی محورها بر ناپایداری در  $\alpha_2 = 10$  و  $\mu_2 = 1$



شکل ۸ اثر نسبت ضریب سختی محورها بر ناپایداری



الف



ب

شکل ۹ اثر نسبت ضریب میرایی محورها بر ناپایداری در  $\alpha_2 = 10$  و  $\mu_2 = 1$

**۱۰- پیوست: درایه‌های ماتریس میرایی و سختی**  
در معادلات حرکت،  $E$  و  $P$  ماتریس‌های  $3 \times 3$  هستند که به ترتیب نشان‌دهنده میرایی و سختی سیستم هستند. با توجه به نسبت‌های ذکر شده در مقاله (پارامترهای بی‌بعد)، درایه‌هایشان این چنین بدست می‌آیند.

$$E_{11} = \frac{2\zeta}{\Omega}$$

$$E_{12} = \frac{-2\eta_{01}(\tau)\alpha_1\zeta}{\Omega}$$

$$E_{13} = 0$$

$$E_{21} = \eta'_{01}(\tau) - \frac{2\eta_{01}(\tau)\zeta}{\Omega}$$

$$E_{22} = 2\left(\frac{\alpha_1\zeta}{\Omega}\right)\left(\eta_{01}^2(\tau) + \gamma_1^{-1}\right)$$

$$E_{23} = -\left(\frac{2\alpha_2\zeta}{\Omega\gamma_1}\right)\eta_{02}(\tau)$$

$$E_{31} = \eta'_{01}(\tau)\eta'_{02}(\tau)$$

$$E_{32} = \eta'_{02}(\tau) - \left(\frac{2\alpha_1\zeta}{\Omega\gamma_1}\right)\eta_{02}(\tau)$$

$$E_{33} = 2\left(\frac{\alpha_2\zeta}{\Omega}\right)\left(\frac{\eta_{02}^2(\tau)}{\gamma_1} + 1\right)$$

$$P_{11} = \Omega^{-2}$$

$$P_{12} = -\eta_{01}(\tau) - \mu_1\Omega^{-2}$$

$$P_{13} = 0$$

$$P_{21} = -\eta_{01}(\tau)\Omega^{-2}$$

$$P_{22} = \mu_1\Omega^{-2}\left(\eta_{01}^2(\tau) + \gamma_1^{-1}\right)$$

$$P_{23} = -\frac{\mu_2}{\Omega^2\gamma_1}\eta_{02}(\tau)$$

$$P_{31} = \eta''_{01}(\tau)\eta'_{02}(\tau)$$

$$P_{32} = \frac{\mu_1}{\Omega^2\gamma_1}\eta''_{02}(\tau)$$

$$P_{33} = \frac{\mu_2}{\Omega^2}\left(\frac{\eta_{02}^2(\tau)}{\gamma_1} + \frac{1}{\gamma_2}\right)$$

با افزایش زاویه انتقالی محور دوم و سوم (زاویه اتصال هوک دوم) نواحی ناپایداری سیستم محور در محدوده عملی که کاربرد بیشتری در طراحی‌ها دارد افزایش می‌یابد.

با افزایش نسبت ضریب سختی محورها، نواحی ناپایداری افزایش می‌یابد؛ یعنی هرچه ضریب سختی محور سوم بیشتر از محور اول باشد، محدوده‌های ناپایداری سیستم کمتر می‌شود. این امر با افزایش نسبت سرعت بیشتر قابل توجه می‌شود. همچنین تغییر نسبت ضریب سختی محورها باعث تغییر فرکانس‌های طبیعی سیستم و در نتیجه جایجایی مکان‌های وقوع تشدید پارامتریک می‌شود.

با افزایش نسبت ضریب میرایی محورها نواحی ناپایداری کاهش می‌یابد؛ یعنی هرچه ضریب میرایی محور سوم بیشتر از محور اول باشد، محدوده‌های ناپایداری سیستم کمتر می‌شود. این امر در سرعت‌های نسبی پایین مشهودتر است. بنابراین با تغییر نسبت ضریب میرایی محورها می‌توان دامنه ناپایداری سیستم را کاهش داد و باعث خروج بعضی نواحی از وضعیت ناپایدار شد. افزایش سرعت محور عموماً موجب افزایش ناپایداری می‌شود ولی بسته به مقدار فرکانس‌های طبیعی سیستم، می‌تواند موجب ناپایداری در بعضی سرعت‌های پایین شود؛ سرعت‌هایی که بازی آن‌ها حرکت سیستم نزدیک به ضرایب یا ترکیبات فرکانس‌های طبیعی آن انجام می‌شود.

## ۹- فهرست علائم

$J$	اینرسی دورانی دیسک (kgm <sup>2</sup> )
$k$	سختی پیچشی محور (kgm <sup>2</sup> s <sup>-2</sup> )
$M$	گشتاور ورودی به هر اتصال هوک (Nm)
$M^*$	گشتاور خروجی از هر اتصال هوک (Nm)
$E$	ماتریس میرایی
$P$	ماتریس سختی
<b>علایم یونانی</b>	
$\alpha_1$	نسبت استهلاک ویسکوز پیچشی محور دوم به اول
$\alpha_2$	نسبت استهلاک ویسکوز پیچشی محور سوم به اول
$\beta$	زاویه اتصال هوک (rad)
$\gamma_1$	نسبت اینرسی دورانی دیسک محور دوم به اول
$\gamma_2$	نسبت اینرسی دورانی دیسک محور سوم به اول
$\Omega_1$	سرعت ورودی به اتصال هوک (rads <sup>-1</sup> )
$\Omega_0$	سرعت خروجی از اتصال هوک (rads <sup>-1</sup> )
$\Omega_0$	سرعت ورودی به محور اول (rads <sup>-1</sup> )
$\Omega$	سرعت دورانی بی‌بعد
$\tau$	زاویه چرخ طیار (rad)
$\zeta$	پارامتر بی‌بعد
$\varphi$	مقدار دوران انتهای محور (rad)
$\theta$	زاویه پیچشی محور (rad)
$\mu_1$	نسبت سختی پیچشی محور دوم به محور اول
$\mu_2$	نسبت سختی پیچشی محور سوم به محور اول
$\eta$	نسبت انتقال سرعت در اتصال هوک
$c$	استهلاک ویسکوز پیچشی هر محور (kgm <sup>2</sup> s <sup>-1</sup> )
<b>زیرنویس‌ها</b>	
$I$	ورودی
$\Theta$	خروجی

- ۱۱- مراجع**
- [1] W.E. Forsthoffer, *Forsthoffer's Best Practice Handbook for Rotating Machinery*, pp. 247-258, New York: Butterworth-Heinemann, 2011.
  - [2] G. Lechner, H. Naunheimer, J. Ryborz, *Automotive Transmissions: Fundamentals, Selection, Design and Application*, Second ed, pp. 10-24, New York: Springer, 2010.
  - [3] S.I. Chang, Torsional Instabilities And Non-linear Oscillation of a System Incorporating a Hooke's Joint, *J. Sound Vibrat.*, Vol. 229, No. 4, pp. 993 – 1002, 2000.
  - [4] S.F. Asokanthan, M.C. Hwang, Torsional Instabilities in a System Incorporating a Hooke's Joint, *Trans. ASME*, Vol. 118, pp. 368-374, 1996.
  - [5] S.F. Asokanthan, X.H. Wang, Characterization of Torsional Instabilities in a Hooke's Joint Driven System via Maximal Lyapunov Exponents, *J. Sound Vibrat.*, Vol. 194, No. 1, pp. 83-91, 1996.
  - [6] S.F. Asokanthan, P.A. Meehan, Non-linear Vibration of Torsional System Driven by a Hooke's Joint, *J. Sound Vibrat.*, Vol. 233, No. 2, pp. 297 – 310, 2000.
  - [7] H.A. DeSmidt, K.W. Wang, E.C. Smith, Coupled Torsion-Lateral Stability of a Shaft-Disk System Drive Through a Universal Joint, *J. Applied Mechanics*, Vol. 69, No. 3, pp. 261-273, 2002.
  - [8] A.J. Mazzei, A. Argento, R. A. Scott, Dynamic Stability of a rotating Shaft Driven Through a Universal Joint, *J. Sound Vibrat.*, Vol. 222, No. 19, pp. 19-47, 1999.

- [16] H. A. DeSmidt, K. W. Wang, E. C. Smith, Stability of a Segmented Supercritical Driveline with Non-Constant Velocity Couplings Subjected to Misalignment and Torque, *J. Sound Vibrat.*, Vol. 277, pp. 895-918, 2004.
- [17] P.P. Sheu, W.H. Chieng, A.C. Lee, "Modeling and Analysis of the Intermediate Shaft Between Two Universal Joints", *J. Vibrat. Acoustics*, Vol. 118, pp. 88-99, 2008.
- [18] M. Soltan Rezaee, M.R. ghazavi, A.A. Jafaari, A. Najafi, Stability of a System Consisting of Three-Axis Connected through Hooke's Joints, *Modares Mechanical Engineering*, Vol. 12, No. 6, pp. 69-79, 2013. (In Persian)
- [19] A. H. Nayfeh, P. F. Pai, *Linear & Nonlinear Structural Mechanics*, pp. 267-283, New York: Wiley, 2004.
- [20] H.C. Seherr-Thoss, F. Schmelz, E. Aucktor, *Universal Joints and Driveshafts: Analysis, Design, Applications*, Second ed., pp. 5-9, New York: Springer-Verlag, 2006.
- [21] L. Meirovitch, *Methods of Analytical Dynamics*, pp. 263-292, New York: McGraw-Hill, 1970.
- [22] M. Rostami, N. Jamshidi, *Dynamic and Vibration Training Solving with ADAMS*, pp. 5-11, Tehran: Abbed, 2009. (In Persian)
- [9] A.J. Mazzei, R.A. Scott, Principal Parametric Resonance Zones of a Rotating Rigid Shaft Driven Through a Universal Joint, *J. Sound Vibrat.*, Vol. 244, No. 3, pp. 555-562, 2001.
- [10] A.J. Mazzei, R.A. Scott, Effects of internal viscous damping on the stability of a rotating shaft driven through a universal joint, *J. Sound Vibrat.*, Vol. 265, No. 1, pp. 863-885, 2003.
- [11] M. Saigo, Transverse Vibration Of A Rotor System Driven by a Cardan Joint, *J. Sound Vibrat.*, Vol. 95, No. 1, pp. 9-18, 1984.
- [12] A.J. Mazzei, R.A. Scott, Accelerating through Resonance of a Universal Joint Driveline, *Proceedings of the XXV International Modal Analysis Conference, Orlando*, paper 29, 2007.
- [13] A. Mazzei, Passage through Resonance in a Universal Joint Driveline System, *J. Vibrat. Control*, Vol. 17, No. 5, pp. 667-677, 2011.
- [14] G. Bulut, Z. Parlar, Dynamic Stability of a Shaft System Connected Through a Hooke's Joint, *J. Mechanism and Machine Theory*, Vol. 46, pp. 1689- 1695, 2011.
- [15] C. Brutti, E. Pennestr, M.E. Biancolini, On the Dynamics of the Transmission with a Double Cardan Joint, *Tenth world congress on the theory of machine and mechanisms, Oulu, Finland*, June 20-24, 1999.